

01;02

## Связанные состояния *S*-двухэлектронного атома

© А.А. Киселев, С.И. Никитин

С.-Петербургский государственный университет  
E-mail: antchis@pcqnt2.phys.spbu.ru

Поступило в Редакцию 22 января 2002 г.

Рассмотрен выбор углов Эйлера, при котором одна из осей вращающейся системы координат тесно связана с центром масс электронов. Иерархия гиперсферических координат  $R$ ,  $\alpha$  и  $\theta$  позволяет провести поочередное квантование по ним. Сложность структуры потенциала ( $R$ ) приводит к использованию квазиклассического приближения.

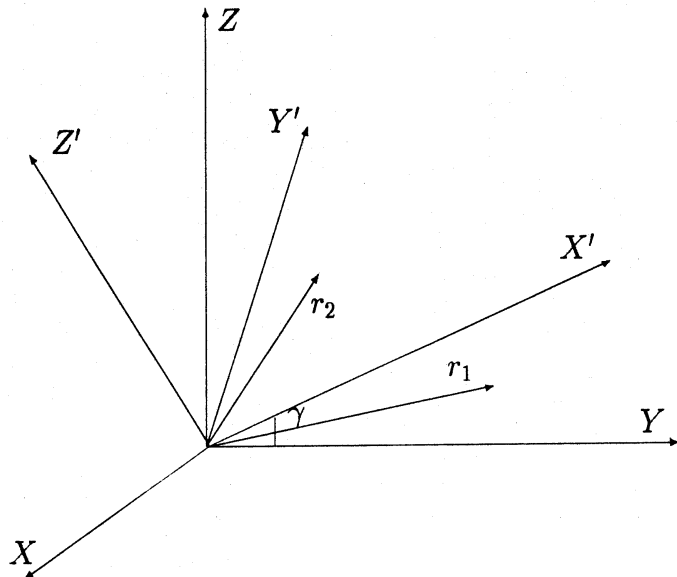
Определен спектр энергии дваждывозбужденных состояний атома гелия для *S*-состояний. Проведено сравнение полученных данных с другими работами.

Исследование возбужденных состояний двухэлектронного атома является достаточно актуальной проблемой атомной физики. Использование гиперсферического координатного базиса впервые было применено Фоком [1].

Келлман и Херрик [2] гипотетически рассмотрели атом гелия в дваждывозбужденном состоянии в виде аналога линейной симметричной трехатомной молекулы. В работе [3] впервые была предложена классификация дваждывозбужденных состояний с использованием квантовых чисел  $K$  и  $T$ .

Модель сферы, по поверхности которой  $r_1 = r_2 = \text{const}$  движутся электроны, рассмотрена в [4,5]. Аналитическое исследование модельной задачи дано в [6]. Классификация дваждывозбужденных состояний, необходимая для сравнения аналитических расчетов с экспериментальными, дается в [3,7]. В [8–12] представлены данные значений энергии для различных состояний.

Поместим ядро в начало координат. Как уже указывалось,  $r_1$  и  $r_2$  — расстояния от ядра до первого и второго электронов соответственно.  $X'Y'Z'$  — повернутая система координат. Как известно, углы Эйлера  $\alpha$ ,  $\beta$  и  $\gamma$  осуществляют последовательным образом поворот системы: вна-



Взаиморасположение систем координат и радиусов-векторов.

чае поворот на угол  $\alpha$  вокруг оси  $Z$ , затем на угол  $\beta$  вокруг нового положения оси  $Y$  и, наконец, поворот на угол  $\gamma$  вокруг окончательного положения оси  $Z$ . На рисунке  $\gamma$  — угол между осями  $X'$  и  $Y$ , причем ось  $X'$  проходит через треугольник со сторонами  $r_1$  и  $r_2$ . Будем рассматривать ось  $X'$  как медиану данного треугольника. Тогда изменится один из углов Эйлера —  $\gamma$ . Новый угол, обозначаемый через  $\gamma$ , будет отличаться от  $\gamma$  [6] на угол  $\delta$ .

В дальнейшем используется атомная система единиц:  $\hbar = m = e = 1$ . Гамильтониан двухэлектронного атома имеет вид:

$$\hat{H} = -\frac{1}{2} \Delta_1 - \frac{1}{2} \Delta_2 - \frac{Z}{r_1} - \frac{Z}{r_2} + \frac{\lambda}{r_{12}}, \quad (1)$$

где  $Z$  — заряд ядра, а  $\lambda$  — параметр, близкий к 1. Разделение переменных проводится обычным способом с помощью формулы Вигнера–

Гиршфельдера:

$$\Psi_{LM}(r_1, r_2) = \sum_{K=0}^L f_{LK}^+(r_1, r_2) D_{MK}^{L+}(\Omega) + f_{LK}^-(r_1, r_2, \theta) D_{MK}^{L-}(\Omega),$$

где

$$\Omega = \{\alpha, \beta, \gamma\},$$

$$D_{MK}^{L+} = (\sqrt{2} + (2 - \sqrt{2})\delta_{0K})^{-1} [D_{MK}^L + (-1)^K D_{M-K}^L],$$

$$D_{MK}^{L-} = (i\sqrt{2})^{-1} [D_{MK}^L - (-1)^K D_{M-K}^L]. \quad (2)$$

Здесь  $\mathbf{L}$  — полный орбитальный момент,  $M$  — его проекция на ось  $Z$  и  $K$  — его проекция на ось  $Z'$ . Также надо упомянуть о том, что  $\mathbf{L} = \mathbf{l}_1 + \mathbf{l}_2$  и  $\mathbf{l} = \mathbf{l}_1 - \mathbf{l}_2$ , где  $\mathbf{l}_1$  и  $\mathbf{l}_2$  — орбитальные моменты электронов.

Это приводит к следующей системе уравнений:

$$\begin{aligned} & \left[ \frac{1}{r_1^2} \frac{\partial}{\partial r_1} r_1^2 \frac{\partial}{\partial r_1} + \frac{1}{r_2^2} \frac{\partial}{\partial r_2} r_2^2 \frac{\partial}{\partial r_2} - \frac{2 \sin \theta}{Q} \left( -K r_2 \frac{\partial}{\partial r_1} + K r_1 \frac{\partial}{\partial r_2} \right) \right. \\ & + \left( \frac{1}{r_1^2} + \frac{1}{r_2^2} \right) \left( \frac{1}{\sin \theta} \frac{\partial}{\partial \theta} \sin \theta \frac{\partial}{\partial \theta} - \frac{L(L+1) - K^2}{2 \sin^2 \theta} \right) \\ & \left. - \frac{2K^2}{Q} + \frac{2Z}{r_1} + \frac{2Z}{r_2} - \frac{2\lambda}{r_{12}} + 2E \right] \cdot f_{LK}^+ + \frac{1}{2 \sin^2 \theta} \left( \frac{1}{r_1^2} + \frac{1}{r_2^2} \right) \\ & \times \left[ (1 - \delta_{0K} - \delta_{1K} + (\sqrt{2} - 1)\delta_{2K}) \beta_{K-2} \beta_{K-1} e^{-2i\delta} f_{LK-2}^+ \right. \\ & + (1 + (\sqrt{2} - 1)\delta_{0K}) \beta_{-K-2} \beta_{-K-1} e^{2i\delta} f_{LK+2}^+ + L(L+1) \delta_{1K} f_{LK}^+ \left. \right] \\ & + \frac{2}{Q} \frac{r_1^2 - r_2^2}{r_1 r_2 \sin \theta} \left[ \frac{K}{2} - \frac{1}{2} (1 - \delta_{0K} - \delta_{1K} - \delta_{2K}) \beta_{K-2} \beta_{K-1} e^{-2i\delta} f_{LK+2}^- \right. \\ & + L(L+1) \delta_{1K} f_{LK}^- - (1 + (\sqrt{2} - 1)\delta_{0K}) \beta_{-K-2} \beta_{-K-1} e^{-2i\delta} f_{LK+2}^- \\ & \left. - \frac{2K^2}{Q} f_{LK}^- - \frac{K}{2} \sin 2\theta \frac{\partial}{\partial \theta} f_{LK}^- \right] \end{aligned}$$

$$\begin{aligned}
& + \frac{2}{Q} \left( (1 + (\sqrt{2} - 1)\delta_{0K})\beta_{-K-2}\beta_{-K-1}e^{2i\delta}f_{LK+2}^- \right) \\
& + \frac{2}{Q} \left[ (1 - \delta_{0K} - \delta_{1K} - (\sqrt{2} - 1)\delta_{2K})\beta_{K-2}\beta_{K-1}e^{-2i\delta}f_{LK-2}^+ \right. \\
& \left. + (1 + (\sqrt{2} - 1)\delta_{0K})\beta_{-K-2}\beta_{-K-1}e^{2i\delta}f_{LK+2}^+ \right] = 0. \quad (3)
\end{aligned}$$

$$\begin{aligned}
Q & = r_1^2 + r_2^2 + 2r_1r_2 \cos \theta \\
r_{12} & = \sqrt{r_1^2 + r_2^2 - 2r_1r_2 \cos \theta}.
\end{aligned}$$

Рассмотрим  $S$ -состояние:  $L = K = 0$ . Перейдем к новым переменным. В качестве таковых возьмем гиперрадиус  $R = \sqrt{r_1^2 + r_2^2}$ , гиперугол  $\alpha = \arctan \frac{r_1}{r_2}$ , а  $\theta$  оставим без изменений. Пересчитываем производные  $\frac{\partial}{\partial r_1}$ ,  $\frac{\partial}{\partial r_2}$ , множитель  $\frac{1}{r_1} + \frac{1}{r_2}$  и  $r_{12}$  — межэлектронное расстояние. Получим следующее уравнение в новых переменных  $R$ ,  $\alpha$  и  $\theta$ :

$$\begin{aligned}
& \left[ \frac{1}{R^5} \frac{\partial}{\partial R} R^5 \frac{\partial}{\partial R} + \frac{1}{R^2} \frac{1}{\sin^2 \alpha \cos^2 \alpha} \frac{\partial}{\partial \alpha} \sin^2 \alpha \cos^2 \alpha \frac{\partial}{\partial \alpha} \right. \\
& + \frac{1}{R^2 \sin^2 \alpha \cos^2 \alpha} \frac{1}{\sin \theta} \frac{\partial}{\partial \theta} \sin \theta \frac{\partial}{\partial \theta} + \frac{2Z(\sin \alpha + \cos \alpha)}{R \sin \alpha \cos \alpha} \\
& \left. - \frac{2\lambda}{R\sqrt{1 - \sin 2\alpha \cos \theta}} + 2E \right] f_{00}^+ = 0. \quad (4)
\end{aligned}$$

Иерархия новых переменных такова:  $\theta$  — наиболее быстрая,  $\alpha$  — менее быстрая и  $R$  — наиболее медленная переменная. Нас интересуют решения в окрестности  $\theta = \pi$ ,  $\alpha = \frac{\pi}{4}$ .

Спектр  $\chi$ , в котором  $m = 0, 1, 2, \dots$ , записывается в виде

$$\begin{aligned}
\chi & = \frac{4\sqrt{2}Z}{R} - \frac{\sqrt{2}\lambda}{R} + \frac{\sqrt{\lambda}}{2\sqrt{R^3}}(4n - 2 - \sqrt{3}) + \frac{4}{R^2} \\
& - \frac{(2m + 1)\sqrt{16 - 6\sqrt{2}ZR + \frac{\sqrt{2}}{2}\lambda R + \frac{\sqrt{\lambda R}}{4}(4n - 2 - \sqrt{3})}}{R^2}, \quad (5)
\end{aligned}$$

где  $n$  — квантовое число, полученное из уравнения по  $\theta$ .

Значения энергии для  $S$ -состояния

$m$	$n$	$k$	$-E_0$	Ссылки
1	1	2	0.763	0.766 [8], [10], [11]
		3	0.431	
		4	0.272	
1	0	2	0.778	0.778 [8], [10], [11]
		3	0.439	
		4	0.278	
2	0	3	0.141	0.138 [9]
		4	0.119	
		5	0.102	
3	0	3	0.139	0.138 [9]
		4	0.109	
		5	0.085	
4	0	4	0.082	0.079 [12]
		5	0.055	0.051 [12]
5	0	4	0.068	0.069 [12]
		5	0.052	0.051 [12]

Отметим, что четные  $m$  соответствуют синглетным состояниям, а нечетные — триплетным.

Классический импульс рассматриваемой системы

$$p = \sqrt{2E + \chi}. \quad (6)$$

Применяя условия квантования Бора–Зоммерфельда:

$$\int_{R_1}^{R_2} dR \sqrt{\chi + 2E} = \pi(2k + 1), \quad k = 0, 1, 2, \dots, \quad (7)$$

где  $R_1$  и  $R_2$  — точки поворота.

Полученные значения энергии  $E_0$  для случая  $S$ -состояния приведены в таблице.

Как видно из таблицы, большинство значений энергий находится в хорошем согласии с данными работ [8–12].

## Список литературы

- [1] Фок В.А. // Изв. АН СССР. Сер. физ. 1954. Т. 18. № 1. С. 2–15.
- [2] Herrick D.K., Kellman M.E. // Phys. Rev. A. 1980. V. 21. N 2. P. 418–425.
- [3] Herrick D.H., Sinanoglu O. // Phys. Rev. A. 1975. V. 97. N 1. P. 97–102.
- [4] Breit G. // Phys. Rev. 1930. V. 35. N 6. P. 569–578.
- [5] Ezra G.S., Berry R.S. // Phys. Rev. A. 1982. V. 25. N 3. P. 1513–1527.
- [6] Nikitin S.I., Ostrovsky V.N. // J. Phys. B. 1985. V. 18. N 22. P. 4349–4369.
- [7] Lin C.D. // Phys. Rev. A. 1982. V. 76. N 1. P. 76–87.
- [8] Chen M.K. // Phys. Rev. A. 1997. V. 56. N 6. P. 4537–4544.
- [9] Ho Y.K. // Phys. Rev. A. 1997. V. 56. N 5. P. 3634–3637.
- [10] Ho Y.K. // Phys. Rev. A. 1986. V. 34. N 5. P. 4402–4404.
- [11] Lindroth J.E. // Phys. Rev. A. 1994. V. 49. N 6. P. 4473–4480.
- [12] Ho Y.K. // J. Phys. B. 1990. V. 23. N 6. P. L71–L79.